

(60) 融着充填層におけるガス流れ、伝熱および還元反応の非定常解析

住友金属工業(株) 中研 ○高谷 幸司 岩永 祐治
下田 輝久

I 緒言

融着層を考慮した高炉のモデル解析としては、ガス流れと伝熱を組込んだ報告¹⁾等がなされているが、その数は少なく、多くは定常解を得るにとどまっている。本報告では一つの融着帯を想定した系²⁾に対し、還元反応挙動を表現する非定常式モデルを開発し、モデル計算と実験結果とを対比する。

II 数式モデルの概要

Fig.-1に示す系において、ガスの運動方程式にErgun式を採用した。ガスと固体に関する物質および熱の収支式を以下に示す。(直交座標系)なお、還元反応には未反応核モデルを用い、速度パラメータは単一融着粒子の還元実験より決定した。

また、ガス流れは圧力と質量流量を変数としてtime-marching法により解き、他の方程式については、SOR法を変形して収束性を高めた。

$$\left\{ \begin{array}{l} \epsilon_B \frac{\partial \rho_g k}{\partial t} + \frac{\partial(x_k G_x)}{\partial x} + \frac{\partial(x_k G_y)}{\partial y} + \frac{\partial}{\partial x}(v_g D_x \frac{\partial x_k}{\partial x}) + \frac{\partial}{\partial y}(v_g D_y \frac{\partial x_k}{\partial y}) - R_k = 0 \\ \epsilon_B \frac{\partial(\rho_g C_p g T_g)}{\partial t} + \frac{\partial(C_p g T_g G_x)}{\partial x} + \frac{\partial(C_p g T_g G_y)}{\partial y} + \frac{\partial}{\partial x}(k_{gx} \frac{\partial T_g}{\partial x}) + \frac{\partial}{\partial y}(k_{gy} \frac{\partial T_g}{\partial y}) \\ \quad + \alpha_p h_p (T_g - T_s) - \frac{1}{k} R_k (-dH_k)(1-\eta) = 0 \\ \frac{\partial f}{\partial t} = - \frac{R_{CO}}{d_0 (1-\epsilon_B) M_{CO}} \\ \frac{\partial(\rho_B C_p s T_s)}{\partial t} + \frac{\partial}{\partial x}(k_{sx} \frac{\partial T_s}{\partial x}) + \frac{\partial}{\partial y}(k_{sy} \frac{\partial T_s}{\partial y}) + \alpha_p h_p (T_s - T_g) - \frac{1}{k} R_k (-dH_k) \eta = 0 \end{array} \right.$$

α_p : 比表面積 C_p : 比熱 D : 批散係数 d_0 : 被還元酸素濃度 d_p : 粒子径 f : 還元率

G : 質量流量 h_p : 熱伝達係数 k : 热伝導度 M_{CO} : CO分子量 R_k : k 成分生成速度

T : 温度 x_k : k 成分分率 ϵ_B : 空隙率 ρ : 密度 (添字) g : ガス s : 固体 B : 充填層

III 計算結果

還元ガス温度を1100°Cから1300°Cにステップ変化させた計算例をFig.2, 3に示す。

(1)融着層内の還元は、拡散項を無視すると底部から反応進行するのに対し、拡散項を考慮すると周囲から進行するようになる。(Fig.-2)

(2)融着部の空隙率が小さくなると伝熱および反応は、対流支配から拡散支配へと移行するが、反応進行の方がその影響は大きい。(Fig.-3)

参考文献 1)八木、武田、大森:鉄と鋼, 66(1980), P1888 2)杉山、八木、大森:鉄と鋼, 64(1978), P1696

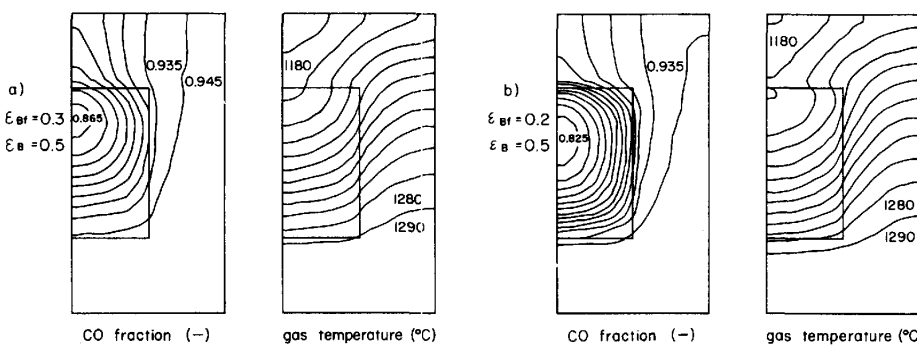


Fig. 3 Effect of fused layer porosity

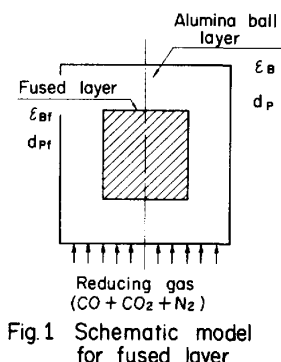


Fig. 1 Schematic model for fused layer

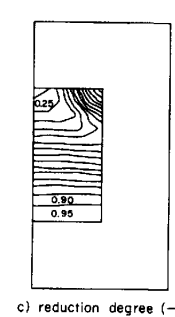
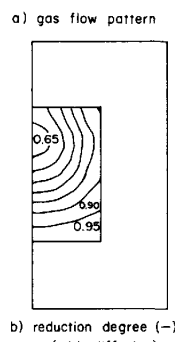
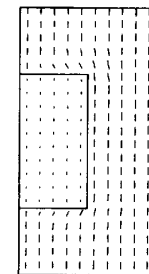


Fig. 2 Effect of diffusion